

## 中規模河床形態の形成条件に関する実験

京都大学防災研究所 正員 村本嘉雄  
 北海道開発局 正員 小池 剛

正員 藤田裕一郎  
 京都大学大学院 学生員 古川隆司

まえがき：中規模河床形態の形成条件について、従来不明確であった、水深、粒径比の大きい場合および路床勾配の大きい場合についての実験を行い、これらのデータを基にして中規模河床形態の形成条件の検討と考察を行った。

Ⅰ. 実験の概要：水深、粒径比の大きい場合（Gシリーズ）および路床勾配の大きい場合（Iシリーズ）における実験の設定条件を表-1に示す。ただし、表-1 実験条件  
 前者の水路長は43m、後者のものは19.4mであり給砂はRun G-1とI-1,4  
 では行わず、Run G-2では停水時に適宜行った。

Run	Q l/s	I	B cm	d mm
G-1	6.0	1/500	130	0.206
G-2	20.0	1/500	130	0.206
I-1	1.3	1/14	50	0.99
I-2	4.0	1/14	50	0.99
I-3	13.0	1/14	50	0.99
I-4	25.0	1/14	50	0.99

実験水理条件の概要は表-2に示しているが、Run G-1では河床のどこどこで発生したripplesが河床全面を発達しながら覆った。108hrから砂州が形成され始め、T=308hrの最終時点では波長の短い一部では乱れているが大部分は交互の前縁を持つ砂州が現われた。この

表-2 水理量の経時変化

Run	Time hr-min	h cm	$\bar{h}$ cm	$\bar{U}$ cm/s	Fr	$I_e$ $\times 10^3$	$\bar{U}^*$ cm/s	$\bar{U}/U^*$	$\tau_w$
G-1	2-32	1.90	1.89	24.60	0.98	2.098	1.85	15.26	6.0121
	11-17	2.50	2.41	18.65	0.38	1.637	2.03	11.46	6.0192
	20-59	2.68	2.57	17.47	0.35	1.957	2.15	9.98	6.0219
	36-10	2.02	2.70	16.55	0.32	1.661	2.17	8.23	6.0234
	60-25	2.96	2.83	15.81	0.30	1.919	2.27	7.33	6.0258
	90-00	2.98	2.95	15.63	0.29	1.652	2.30	7.15	6.0265
	109-02	3.04	2.90	15.45	0.29	1.952	2.31	7.45	6.0277
	117-08	3.06	2.92	15.38	0.28	2.008	2.35	6.98	6.0281
	139-15	3.10	2.95	15.08	0.28	1.927	2.30	7.17	6.0277
	158-45	3.17	3.02	14.85	0.27	1.877	2.26	8.28	6.0282
	182-32	3.11	2.95	15.23	0.28	1.939	2.31	7.31	6.0281
	205-45	3.16	3.01	14.06	0.27	2.026	2.36	6.99	6.0290
G-2	230-00	3.14	2.99	14.92	0.27	1.935	2.37	6.93	6.0291
	253-09	3.10	2.96	15.10	0.28	1.966	2.34	7.23	6.0284
	285-24	2.99	2.66	15.64	0.29	1.978	2.31	7.44	6.0268
	307-15	2.99	2.66	15.75	0.30	2.040	2.32	7.35	6.0271
	58	5.92	5.43	26.03	0.34	2.525	3.66	7.36	6.0277
	3-22	6.55	5.95	23.65	0.30	2.705	3.87	6.34	6.0327
	7-45	6.25	5.70	24.68	0.32	2.921	4.00	6.25	6.0322
	15-55	6.89	6.23	22.43	0.27	2.897	4.14	5.57	6.0373
I-1	5'11"	1.39	0.71	1.47	0.0712	6.94	5.64	0.301	
	15"	1.13	0.47	2.21	0.0706	5.64	8.46	0.199	
av.		1.26	0.59	1.78	0.0709	6.33	6.75	0.250	
I-2	1'43"	4.11	1.14	2.14	0.0720	8.77	8.19	0.480	
	3'39"	4.11	1.31	1.75	0.0699	9.22	6.81	0.531	
	8'40"	4.33	0.85	3.51	0.0707	7.58	13.38	0.359	
av.		4.18	1.10	2.31	0.0709	8.56	8.88	0.457	
I-3	1'30"	12.88	1.84	3.29	0.0797	11.59	12.07	0.839	
	2'30"	13.08	1.98	3.01	0.0694	11.16	11.85	0.778	
av.		12.98	1.91	3.14	0.0746	11.39	11.93	0.810	
I-4	25.06	2.94	3.18	0.0714	13.59	12.54	1.154		
	2'30"	24.53	5.08	1.37	0.0714	17.19	5.62	1.815	
av.		24.80	4.01	1.97	0.0714	15.55	7.59	1.510	

ような ripple の形成過程を反映して、流水抵抗は  $T=0.2/100h$  にかけて著しく増加している。Run G-2でも砂州は ripple が河床全面を覆った後に現われたが G-1 よりも掃流力が大きいため、現象の時間的推移が早かった。一方 Run I-1 および I-2 では通水直後から明確な交互の前縁と水流蛇行が発生し、Run I-2 では砂州の前縁に沿って転波列状の水面波がみられた。また Run I-3 では水流は直線的で通水中は注意してなければ砂州の形成は認められないうが、停水時には直線状の前縁を持つ砂州が残っていた。Fr=3.14  $T=0.81$  と  $Q6$  より大きい点は特徴的である。最後に Run I-4 では反砂堆 (Chute pool) であった。

本実験での砂州の無次元波長  $L/b$ 、無次元波高  $H/b$  は表-3に一括して示しているが、この表と前述の河床形態から形成された砂州を判断すると表-4のようになる。

2. 中規模河床形態の形成条件：まず本実験の結果に基づいて中規模河床形態の形成条件を、村本・藤田の領域区分図によつて検討すれば図-1のようになる。Run G-1は交互砂州の領域に入っているが、表-4を考慮すると、本来、交互砂州と複列砂州の境界付近に来るべきものと思われ、また Run G-2は準砂州の領域に入っている現象と違ふ結果となつた。

しかし図-1の斜め直線で示した Run G-2 と同一の領域に数多く行われた  $G_{mp}$  の実験結果で

Yoshio MURAMOTO, Yuuichiro FUJITA, Tsuyoshi KOIKE, Takashi FURUKAWA

は○印の5例を除き砂州は形成されておらずRunG2と異なる結果となった。このような相違が生じた原因としては、Guyらの実験が小規模河床形態に関する実験であったため、中規模河床形態が発達する前に通水を終了したことが推測される。

一方Iシリーズの実験では、路床勾配が $1/4 > 1/20$ であって $B/h-h/d$ 図で検討するには不適当であるが、その結果は、RunI-2およびI-3は現象と一致しているが、RunI-1は複列砂州の領域に入り一致していない。

さらに、これらの実験の結果を他の領域区分図で検討した結果も表-5に示したとおりであり、現象との対応は十分でないことがわかる。

以上のように、従来の領域区分図では本実験の現象を十分説明しえないので、この結果に合致させるには、領域区分パラメータをどのように変化すればよいかを、村本・藤田の検討を参考として考える。

村本・藤田は $B/h-h/d$ 平面で交互砂州の形成領域区分値を次のように表わしている。

$$h/d = R(I) \cdot (B/d)^{1/2} \quad (1)$$

そして $R(I)=0.45$ を交互砂州と単砂州との境界とし、一方 $R(I)=0.15$ を交互砂州と複列砂州の境界として、交互砂州の形成条件を次式で示した。

$$0.15 \leq R(I) \leq 0.45, I < 1/20 \quad (2)$$

ここで前者の $R(I)$ を $R_1(I)$ 、後者を $R_2(I)$ とすると、本実験の $R(I)$ は表-3に示したとおりであり、RunG-2に対しては $R_1(I) > 0.97$ とすればならず、また、RunG-1の河床形態からは $R_2(I) \approx 0.43$ とする必要があつていずれも従来の値よりもかなり大きくなる。したがってこれらの結果に合致する境界線は図-1上で上にずれることになる。逆にRunI-1~4では、RunI-1の河床形態から $R_2(I) < 0.094$ とする必要があり、 $R_1(I)$ はRunI-3とI-4の間と存すると思われるので、 $R(I) \approx 0.304$ であった。従つてこの場合の $B/h-h/d$ 平面での砂州の形成領域は全体的に下にずれる。

以上から本実験値のみを区分するには、Iに依りて $R(I)$ を増減させる必要があり、I大での傾向は従来認められた傾向と一致しているが、I小で $R(I)$ を増大させる点は実験例も少なく今後十分検討すべき問題である。

- 《参考文献》 1) 村本嘉雄、藤田裕一郎：第22回水理講演会論文集，PP275-282, 1978  
2) Guy, H.P., Simone, D.B., Richardson, E.V.: Geological Survey Prof. Paper 462-I, 1966

表-3 砂州の形状特性量

Run	B/h	h/d	$l_B/B$	$Z_B/B$	R(I)
G-1	43.48	145.15	2.38	0.0518	0.425
G-2	19.03	331.55	4.42	0.0741	0.971
I-1	84.75	5.96	5.66	0.0476	0.094
I-2	45.45	11.11	11.40	0.0126	0.175
I-3	26.18	19.29	9.90	0.0206	0.304
I-4	12.47	40.51	-	-	0.639

表-4 形成された砂州

Run	Author
G-1	交互砂州と複列砂州の間領域
G-2	交互砂州
I-1	"
I-2	"
I-3	"
I-4	小規模

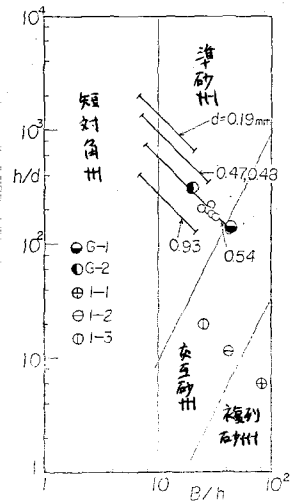


図-1  $B/h-h/d$ 区分図の本案訂正

表-5 他の領域区分図での便宜訂正

Run	川	河床	現象	Fluvial	Zuanshikao
G-1	交互砂州	副砂州行	遷移的河	Meandering	中州
G-2	小規模	副砂州並行	非定常	"	縦心流路
I-1	"	副砂州+副砂	副砂+副砂	Braiding	副州(交互砂州)
I-2	交互砂州	utter regime	交互砂州	Mandering	"
I-3	小規模	"	小規模	"	縦心流路(交互砂州)
I-4	"	"	"	Straight	副州(交互砂州)